

表 4.2 自然顺序与倒位序二进制数对照表及相应的十进制数

自然顺序十进制数(I)	自然顺序二进制数	倒位序二进制数	倒位序后十进制数(J)
0	000	000	0
1	001	100	4
2	010	010	2
3	011	110	6
4	100	001	1
5	101	101	5
6	110	011	3
7	111	111	7

I, J 都是从 0 开始。若已知某个倒位序数 J , 要求下一个倒位序数, 则应先判断 J 的最高位是否为 0, 这可与 $K=N/2$ 相比较, 因为 $N/2$ 总是等于 $100\cdots$ 的。如果 $K>J$ 则 J 的最高位为 0, 只要把该位变为 1 (J 与 $K=N/2$ 相加即可), 就得到了下一个倒位序数; 如果 $K\leq J$, 则 J 的最高位为 1, 可将最高位变为 0 (J 减去 $N/2$ 即可)。然后还需判断次高位, 这可与 $K=N/4$ 相比较, 若次高位是 0, 则将它改成 1 (J 与 $N/4$ 相加即可), 其他位不变, 即得到下一个倒位序数; 若次高位是 1, 则需将它也变为 0 (J 减去 $N/4$ 即可)。然后还需判断再下一位, 这可与 $K=N/8$ 相比较……依次进行, 总会碰到某位为 0 (除非最后一个数 $N-1$ 的各位全是 1, 而这个数不需倒位序, 不属于倒位序程序内的数), 这时把这个 0 改成 1, 就得到下一个倒位序数。求出新的倒位序数 J 以后, 当 $I<J$ 时, 进行变址交换。注意, 在倒位序中, $x(0)$ 和 $x(N-1)$ 总是不需要交换的, 因为 0 与 $N-1$ 的倒位序数与原自然顺序数是一样的。

4.8 N 为复合数的 FFT 算法——混合基(多基多进制) FFT 算法

学习要点

1. 若序列长度不满足 $N=2^L$, 前面说过, 可以补零值点来满足这一要求, 但有可能增加的计算量太长, 例 $N=280$ 点, 则需补到 $2^8=512$ 点共须补 232 个零值点。
2. 若要求准确的 N 点, 则只能采用直接 DFT 方法, 或采用后面将介绍的 CZT(Chirp- z 变换)算法。
3. 若 N 是一个组合数, 可以分解为一些因子的乘积, 则可采用混合基 FFT 算法, 或称多基多进制 FFT 算法。
4. 二进制、多进制(r 进制)及混合基(或称多基多进制)FFT 算法

(1) 二进制 FFT。当 $N=2^L$, 则任一个 $n<N$ 的正整数 n 可以表示成以 2 为基数的二进制形式

$$(n)_2 = (n_{L-1}n_{L-2}\cdots n_1n_0), \quad n_i = 0 \text{ 或 } 1, \quad i = 0, 1, \cdots, L-1 \quad (4.8.1)$$

此二进制数所代表的数值为

$$(n)_{10} = n_{L-1}2^{L-1} + n_{L-2}2^{L-2} + \cdots + n_12 + n_0 \quad (4.8.2)$$

此二进制倒位序后为 $(\bar{n})_2 = (n_0n_1\cdots n_{L-2}n_{L-1})$, 它所代表的数值为

$$(\bar{n})_{10} = n_0 2^{L-1} + n_1 2^{L-2} + \cdots + n_{L-2} 2 + n_{L-1} \quad (4.8.3)$$

(2) r 进制(多进制)FFT。当 $N=r^L$, r, L 皆为大于1的正整数,任一个 $n < N$ 的正整数 n 都可表示为以 r 为基数的 r 进制形式

$$(n)_r = (n_{L-1} n_{L-2} \cdots n_1 n_0), \quad n_i = 0, 1, \cdots, r-1, \quad i = 0, 1, \cdots, L-1 \quad (4.8.4)$$

此 r 进制数所代表的数值为

$$(n)_{10} = n_{L-1} r^{L-1} + n_{L-2} r^{L-2} + \cdots + n_1 r + n_0 \quad (4.8.5)$$

此 r 进制倒位序后为 $(\bar{n})_r = (n_0, n_1, \cdots, n_{L-2}, n_{L-1})$, 它们代表的数值为

$$(\bar{n})_{10} = n_0 r^{L-1} + n_1 r^{L-2} + \cdots + n_{L-2} r + n_{L-1} \quad (4.8.6)$$

当 $r=2$ 时,就是二进制, $r=4$ 时,就是四进制,等等。

(3) 多基多进制 FFT,即混合基 FFT。

当 $N=r_0 r_1 \cdots r_{L-1}$, 各 $r_i (i=0, 1, \cdots, L-1)$ 为大于1的正整数,则任一个 $n < N$ 的正整数 n , 可以表示为多基多进制形式

$$(n)_{r_0 r_1 \cdots r_{L-1}} = (n_{L-1} n_{L-2} \cdots n_1 n_0) \quad (4.8.7)$$

$$(n)_{10} = (r_0 r_1 \cdots r_{L-2}) n_{L-1} + (r_0 r_1 \cdots r_{L-3}) n_{L-2} + \cdots + (r_0 r_1) n_2 + r_0 n_1 + n_0 \quad (4.8.8)$$

其倒位序后为

$$(\bar{n})_{r_0 r_1 \cdots r_{L-1}} = (n_0 n_1 \cdots n_{L-2} n_{L-1}) \quad (4.8.9)$$

$$(\bar{n})_{10} = (r_1 r_2 \cdots r_{L-1}) n_0 + (r_2 r_3 \cdots r_{L-1}) n_1 + \cdots + (r_{L-2} r_{L-1}) n_{L-3} + r_{L-1} n_{L-2} + n_{L-1} \quad (4.8.10)$$

在 $(n)_{10}$ 及 $(\bar{n})_{10}$ 的表示式中[即(4.8.8)式及(4.8.10)式], 各 n_i 的取值范围为

$$\begin{aligned} n_{L-1} &= 0, 1, \cdots, r_{L-1} - 1 \\ n_{L-2} &= 0, 1, \cdots, r_{L-2} - 1 \\ &\vdots \\ n_1 &= 0, 1, \cdots, r_1 - 1 \\ n_0 &= 0, 1, \cdots, r_0 - 1 \end{aligned} \quad (4.8.11)$$

可记为

$$n_i = 0, 1, \cdots, r_i - 1, \quad i = 0, 1, \cdots, L-1$$

这种对序列进行抽取的办法, 因为是使其 FFT 算法仍能保持原位(同址)运算的特点, 将这种抽取造成的“混序”组合数情况称为广义倒位序。

* 多基多进制的广义倒位序与基-2或基- r 倒位序的区别在于, 当低位与高位颠倒交换时, 其相应的加权系数也产生变化, 而基-2(或基- r)在某一位处, 其加权系数是固定的(例如基-2, 在从左到右第二位, 加权系数就是 2^{L-2} , 不管是 n 或是 \bar{n} , 处于此位的加权系数都是这一数值)。多基多进制正序排列从左到右第一位 n_{L-1} 的加权系数是 $r_0 r_1 \cdots r_{L-2}$, 而倒位序排列同样的第一位 n_0 的加权系数则是 $r_1 r_2 \cdots r_{L-1}$ 。

* 由于以上组合数做分解时可以有多种方式, 例如可有 $N=r_0 r_1 \cdots r_{L-1}$, $N=r_{L-1} r_{L-2} \cdots r_0$ 等等, 故混合基 FFT 算法可有多种形式流图, 多种形式算法。

【例 4.1】 试用混合基 FFT 算法求 $N=30$ 的结果, 并画出流图。

解 (1) 这里采用 $N=r_0 r_1 r_2 = 5 \times 2 \times 3$, 即 $r_0=5, r_1=2, r_2=3$ 的混合基 FFT 算法, 采用输入 n 按正序排列, 输出 k 按倒位序排列的办法, 则有

$L=2$

例 4x4=16

$$\left. \begin{aligned} n &= r_0 r_1 n_2 + r_0 n_1 + n_0 = 10n_2 + 5n_1 + n_0 \\ \bar{k} &= r_1 r_2 k_0 + r_2 k_1 + k_2 = 6k_0 + 3k_1 + k_2 \end{aligned} \right\} \quad (4.8.12)$$

其中各 n_i, k_i 的取值范围为

$$\left. \begin{aligned} n_0, k_0 &= 0, 1, \dots, r_0 - 1 = 0, 1, 2, 3, 4 \\ n_1, k_1 &= 0, 1, \dots, r_1 - 1 = 0, 1 \\ n_2, k_2 &= 0, 1, \dots, r_2 - 1 = 0, 1, 2 \end{aligned} \right\} \quad (4.8.13)$$

(2) 列出混合基运算的表达式 $[x(n) = x(10n_2 + 5n_1 + n_0)]$

$$\begin{aligned} X(k) &= \sum_{n_0=0}^{29} x(n) W_{30}^{nk} = \sum_{n_0=0}^4 \sum_{n_1=0}^1 \sum_{n_2=0}^2 x(n_2, n_1, n_0) W_{30}^{(10n_2+5n_1+n_0)(6k_0+3k_1+k_2)} \\ &= \sum_{n_0=0}^4 \sum_{n_1=0}^1 \sum_{n_2=0}^2 x(n_2, n_1, n_0) W_{30}^{10n_2 k_2} W_{30}^{15n_1 k_1} W_{30}^{5n_1 k_2} W_{30}^{6n_0 k_0} W_{30}^{3n_0 k_1} W_{30}^{n_0 k_2} \end{aligned}$$

在以上推导中,已应用到 $W_{30}^{60n_2 k_0} = W_{30}^{30n_1 k_0} = 1$,再考虑到 $W_N^{N_1 n_1 k_i} = W_{N/N_1}^{n_1 k_i}$ ($N/N_1 = \text{整数}$ 时)则有

$$\begin{aligned} X(k) &= \sum_{n_0=0}^4 \sum_{n_1=0}^1 \left[\sum_{n_2=0}^2 x(n_2, n_1, n_0) W_{30}^{n_2 k_2} \right] W_{30}^{(5n_1+n_0)k_2} W_{20}^{n_1 k_1} W_{30}^{3n_0 k_1} W_{50}^{n_0 k_2} \\ &= \sum_{n_0=0}^4 \sum_{n_1=0}^1 [X_1(k_2, n_1, n_0) W_{30}^{(5n_1+n_0)k_2}] W_{20}^{n_1 k_1} W_{10}^{n_0 k_1} W_{50}^{n_0 k_2} \\ &= \sum_{n_0=0}^4 \left[\sum_{n_1=0}^1 X'_1(k_2, n_1, n_0) W_{20}^{n_1 k_1} \right] W_{10}^{n_0 k_1} W_{50}^{n_0 k_2} \\ &= \sum_{n_0=0}^4 [X_2(k_2, k_1, n_0) W_{10}^{n_0 k_1}] W_{50}^{n_0 k_2} \\ &= \sum_{n_0=0}^4 X'_2(k_2, k_1, n_0) W_{50}^{n_0 k_2} \\ &= X(k_2, k_1, k_0) \end{aligned} \quad (4.8.14)$$

其中

$$X_1(k_2, n_1, n_0) = \sum_{n_2=0}^2 x(n_2, n_1, n_0) W_{30}^{n_2 k_2} \quad (4.8.15)$$

$$X'_1(k_2, n_1, n_0) = X_1(k_2, n_1, n_0) W_{30}^{(5n_1+n_0)k_2} \quad (4.8.16)$$

$$X_2(k_2, k_1, n_0) = \sum_{n_1=0}^1 X'_1(k_2, n_1, n_0) W_{20}^{n_1 k_1} \quad (4.8.17)$$

$$X'_2(k_2, k_1, n_0) = X_2(k_2, k_1, n_0) W_{10}^{n_0 k_1} \quad (4.8.18)$$

$$X(k_2, k_1, k_0) = \sum_{n_0=0}^4 X'_2(k_2, k_1, k_0) W_{50}^{n_0 k_2} = X(k) = X(6k_0 + 3k_1 + k_2) \quad (4.8.19)$$

这里看出有三级 DFT 运算,一个是(4.8.15)式的 (n_2, k_2) 变量的 3 点 DFT 共有 10 个,一个是(4.8.17)式的 (n_1, k_1) 变量的 2 点 DFT,共有 15 个,一个是(4.8.19)式的 (n_0, k_0) 变量的 5 点 DFT,共有 6 个,此外还有第一级 3 点 DFT 运算之后的乘 $W_{30}^{(5n_1+n_0)k_2}$ 运算,见(4.8.16)式,以及第二级 2 点 DFT 运算之后的乘 $W_{10}^{n_0 k_1}$ 运算,见(4.8.18)式,这两个乘因子都只影响输出序列的相位,不影响幅度,故被称为旋转因子。有时,将这种算法称为旋转因子算法,对于

基-2 FFT 是混合基算法的特定情况,因而也是旋转因子算法。

按以上算式可画出 $N=5 \times 2 \times 3=30$ 的混合基 FFT 流图(输入正序、输出倒位序)如图 4.23 所示,图中第一级的 10 个 3 点 DFT 只画出了 $[x(0), x(10), x(20)]$ 及 $[x(4), x(14), x(24)]$ 两个。

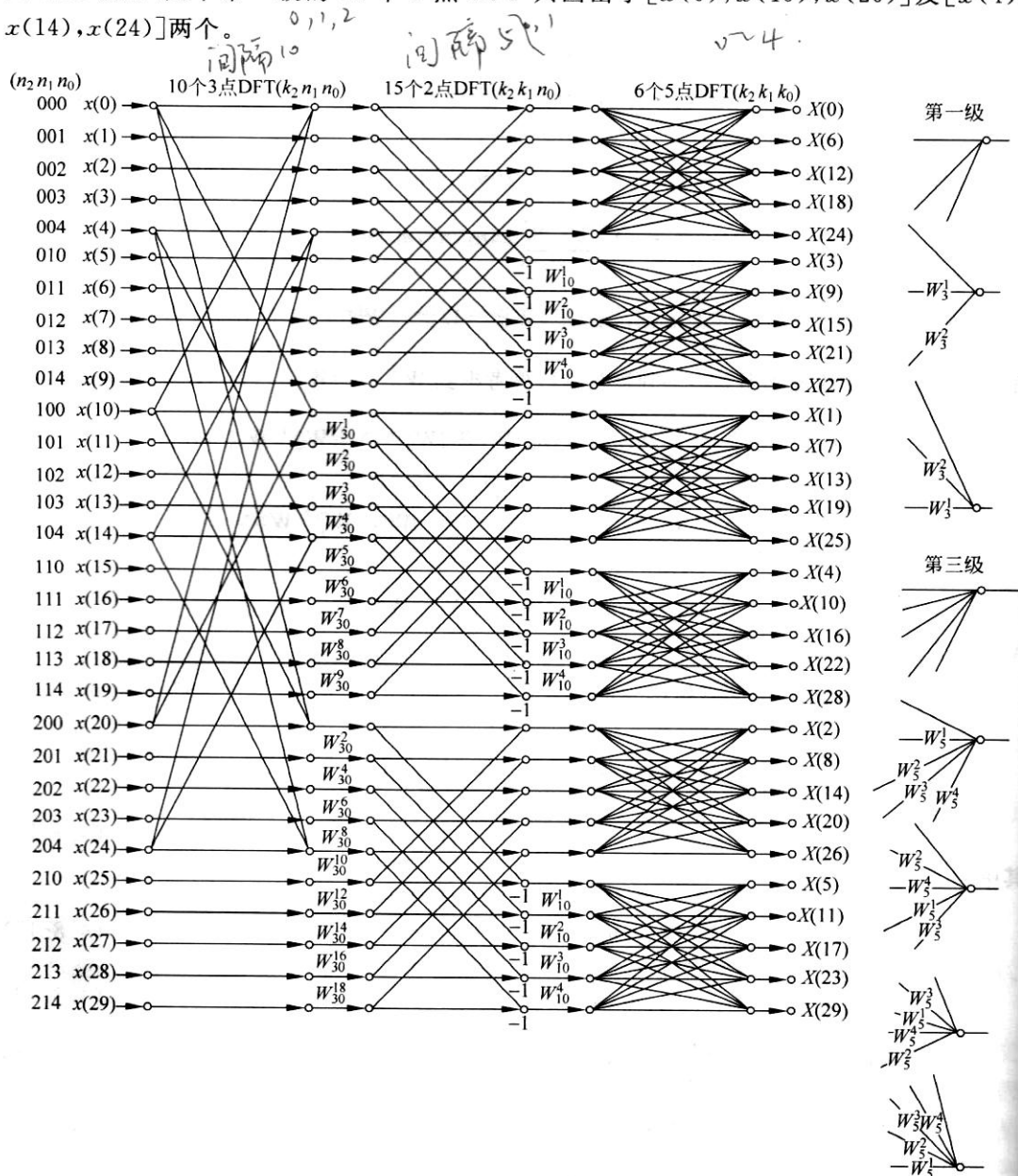


图 4.23 $N=5 \times 2 \times 3=30$ 的混合基 FFT 流图,输入正序、输出倒位序 $X(k)=X(6k_0+3k_1+k_2)$

5. N 为复合数时 FFT 运算量的估计。

当 $N=r_0 r_1$ 时,如果不算倒位序的工作量,其运算量为

$$\text{直接法求 } r_1 \text{ 个 } r_0 \text{ 点 DFT: } \begin{cases} \text{复数乘法} & r_1 r_0^2 \\ \text{复数加法} & r_1 r_0 (r_0 - 1) \end{cases}$$

乘 N 个旋转因子: 复数乘法 N

$$\text{直接法求 } r_0 \text{ 个 } r_1 \text{ 点 DFT: } \begin{cases} \text{复数乘法} & r_0 r_1^2 \\ \text{复数加法} & r_0 r_1 (r_1 - 1) \end{cases}$$

总计:

$$\left. \begin{aligned} \text{复数乘法} & \quad r_1 r_0^2 + N + r_0 r_1^2 = N(r_0 + r_1 + 1) \\ \text{复数加法} & \quad r_1 r_0 (r_0 - 1) + r_0 r_1 (r_1 - 1) = N(r_0 + r_1 - 2) \end{aligned} \right\} \quad (4.8.20)$$

而直接计算一个 N 点 DFT 的运算量为

$$\begin{aligned} \text{复数乘法} & \quad N^2 \\ \text{复数加法} & \quad N(N-1) \end{aligned}$$

因而混合基算法可节省的运算量倍数为

$$\left. \begin{aligned} \text{乘法} & \quad R_x = \frac{N^2}{N(r_0 + r_1 + 1)} = \frac{N}{r_0 + r_1 + 1} \\ \text{加法} & \quad R_+ = \frac{N(N-1)}{N(r_0 + r_1 - 2)} = \frac{N-1}{r_0 + r_1 - 2} \end{aligned} \right\} \quad (4.8.21)$$

例如, 当 $N = r_0 r_1 = 5 \times 7 = 35$ 时

$$R_x = \frac{35}{15} = 2.6$$

直接 DFT 算法等于混合基算法的 2.6 倍工作量。

同样, 当 $N = r_0 r_1 r_2$ 时, 一定有 $r_1 r_2$ 个 r_0 点 DFT, $r_0 r_2$ 个 r_1 点 DFT, $r_0 r_1$ 个 r_2 点 DFT, 加上两次乘旋转因子, 因而总乘法次数为 $N(r_0 + r_1 + r_2 + 2)$ 。

这样可以推算出, 当 $N = r_0 r_1 \cdots r_{L-1}$ 时, 采用混合基算法所需总乘法次数为

$$N \left[\left(\sum_{i=0}^{L-1} r_i \right) + L - 1 \right] \quad (4.8.22)$$

则直接计算 DFT 与之相比, 运算量之比为

$$R_x = \frac{N^2}{N \left[\left(\sum_{i=0}^{L-1} r_i \right) + L - 1 \right]} = \frac{N}{L - 1 + \sum_{i=0}^{L-1} r_i} \quad (4.8.23)$$

注意(4.8.22)式用于每个 r_i 均为素数(但 $\neq 2$)的情况是精确的, 此时可将 r_i 点变换看成乘法次数为 r_i^2 是对的, 但是当 r_i 不是素数或 $r_i = 2$ 时, 就不一定对了, 例如: $r_i = 2$ 时, 是两点变换不带有乘法运算, 对 $r_i = 4$ 也是这样, 对 $r_i = 8$, 则所需运算比 64 次乘法少得多, 所以分解成 r_i 为 2, 4, 8, 将使上面公式几乎失效, 也就是说 $N = 2^L$ 时, 上面(4.8.23)式完全不适用。

4.9 线性调频 z 变换(Chirp- z 变换或 CZT)算法

DFT 运算的局限性是: ① z 平面单位圆上的 N 个抽样点必须均匀等间隔地分布在 $[0, 2\pi)$ 范围中, 且输入、输出序列长度都必须是相同的 N 点。若只需要计算某一频段的频谱值, 例如对窄带信号, 且希望提高计算的分辨率, 即在窄的频带内, 有更密集的抽样点, 例如,